

С З 46.48

ЭКЗ. ЧИ. зала  
5/11/1972

A - 139  
СООБЩЕНИЯ  
ОБЪЕДИНЕННОГО  
ИНСТИТУТА  
ЯДЕРНЫХ  
ИССЛЕДОВАНИЙ

Дубна

1902/2-72



P1 - 6326

А.У.Абдурахимов, Н.Ангелов, В.А.Беляков,  
 К.П.Вишневская, В.Г.Гришин, Ш.В.Иногамов,  
 Т.Канарек, А.А.Кузнецов, Е.Н.Кладницкая, Дж.М.Кохли,  
 В.Б.Любимов, Н.Н.Мельникова, Нгуен Дин Ты,  
 В.М.Попова, М.Сабеу, М.И.Соловьев, Л.Н.Смирнова,  
 Х.Я.Суличаков, Ю.В.Тевзадзе, Н.Г.Фадеев,  
 Л.М.Щеглова, Б.С.Юлдашев, Г.Янчо

ИССЛЕДОВАНИЕ  
 МНОЖЕСТВЕННОСТИ ВТОРИЧНЫХ ЧАСТИЦ  
 В  $\Pi^+$ ,  $\Pi^-$  и  $\Pi^0$ -ВЗАИМОДЕЙСТВИЯХ  
 ПРИ ИМПУЛЬСЕ 40 ГЭВ/С

ЛАБОРАТОРИЯ ВЫСОКИХ ЭНЕРГИЙ

1972

P1 - 6326

А.У.Абдурахимов, Н.Ангелов, В.А.Беляков,  
К.П.Вишневская,<sup>1</sup> В.Г.Гришин, Ш.В.Иногамов,  
Т.Канарак, А.А.Кузнецов, Е.Н.Кладницкая, Дж.М.Кохли,<sup>2</sup>  
В.Б.Любимов, Н.Н.Мельникова, Нгуен Дин Ты,  
В.М.Попова,<sup>1</sup> М.Сабеу, М.И.Соловьев, Л.Н.Смирнова,<sup>1</sup>  
Х.Я.Супичаков, Ю.В.Тевзадзе, Н.Г.Фадеев,  
Л.М.Щеглова,<sup>1</sup> Б.С.Юлдашев, Г.Янчо

ИССЛЕДОВАНИЕ  
МНОЖЕСТВЕННОСТИ ВТОРИЧНЫХ ЧАСТИЦ  
в П<sup>р</sup>, П<sup>п</sup> и П<sup>с</sup>-ВЗАИМОДЕЙСТВИЯХ  
ПРИ ИМПУЛЬСЕ 40 ГЭВ/С

<sup>1</sup> Институт ядерной физики Московского государственного университета

<sup>2</sup> Физический факультет Пенджабского университета,  
Чандигар, Индия

- частицы, связанные с найденными взаимодействиями. В соответствии со стандартными критериями классификации событий для пропановых пузырьковых камер 1826 случаев было отнесено к " $\pi^- p$ " - взаимодействиям, 764 - к " $\pi^- n$ " и 1477 - к " $\pi^- C$ " - соударениям. В 64 случаях нельзя было определить тип звезды в основном из-за вторичных взаимодействий, расположенных близко к первичной звезде.

К " $\pi^- p$ " - взаимодействиям относились события по следующим критериям: 1) четное число вторичных треков и суммарный заряд всех вторичных частиц равен нулю; 2) число идентифицированных протонов - а) ноль или единица; б) нет протона, летящего назад; 3) отсутствует блоб.

К " $\pi^- n$ " - взаимодействиям относились события с нечетным числом вторичных треков и с суммарным зарядом всех вторичных частиц, равным - 1; число идентифицированных протонов - 0 или 1; нет протона, летящего назад, и отсутствует блоб.

Все события, не удовлетворяющие перечисленным выше критериям, классифицировались как " $\pi^- C$ " - взаимодействия.

## § 2. Распределение событий по множественности

### вторичных заряженных частиц в $\pi^- P$ - соударениях

На рис. 1а приведены полученные результаты по " $\pi^- p$ " - взаимодействиям. Заштрихованная область в 2-лучевых событиях соответствует зарегистрированным случаям упругого рассеяния  $\pi^-$  - мезонов на протонах. Оценка доли этих событий в двухлучевых звездах (25%) проводилась двумя способами. С одной стороны, было принято, что сечение упругого  $\pi^- p$  - рассеяния при  $p_c = 40$  Гэв составляет  $3,5 \pm 0,35$  мбн., величина "B", характеризующая наклон дифракционного пика, равна  $8,5 (\text{Гэв}/\text{с})^{-2}$  по экстраполяции имеющихся данных и в камере регистрируются протоны с импульсом  $P \geq 180$  Мэв/с. В этом случае мы регистрируем только  $\sim 70\%$  событий упругого  $\pi^- p$  - рассеяния, что составляет  $(28 \pm 3)\%$  от всех двухлучевых событий, найденных в  $\pi^- p$  - взаимодействиях <sup>x/</sup>.

<sup>x/</sup> Аналогичная оценка доли зарегистрированных  $\pi^- p \rightarrow \pi^- p$  событий при 40 Гэв/с по результатам эксперимента при  $p_c = 6,8$  Гэв, проведенного с помощью 24-литровой пропановой камеры ОИЯИ, дает значение  $(70 \pm 3)\%$  <sup>7/</sup>.

С другой стороны, была проведена оценка "сверху". Из двухлучевых событий исключались события с  $\gamma$  - квантами ( $47 \pm 3\%$ ) и  $V^0$  - частицами без  $\gamma$  - квантов (4%). Далее вычислялась вероятность нерегистрации  $\gamma$  - квантов в двухлучевых событиях при  $\bar{n}_\gamma = 4$  и  $\epsilon = 0,25$  (эффективность регистрации  $\gamma$  - квантов в выбранной области просмотра звезд). Она оказалась равной 34%. Таким образом, полное число двухлучевых взаимодействий с  $\gamma$  - квантами составляет 71%. Учитывая 4% событий с  $V^0$  - частицами без  $\gamma$  - квантов, получаем, что кандидатами в случае упругого и квазиупругого  $\pi^- p$  - взаимодействия могут быть только ( $25 \pm 2\%$ ) событий от всех двухлучевых звезд. Таким образом, обе оценки дали одинаковые результаты.

Значения средних множественностей заряженных частиц  $\langle n_+ \rangle$  приведены в таблице I. Указанные ошибки - статистические. Поправки, связанные с парами Далитца, со вторичными взаимодействиями,  $\delta$  -электронами и  $\gamma$  - квантами вблизи точки взаимодействия, а также с потерей медленных протонов, специально анализировались.

При просмотре стереофотографий регистрировались вторичные взаимодействия и  $\gamma$  -кванты в интервалах 0 - 5 см и 5 - 10 см от первичной звезды. Всего было найдено 276 и 246  $\gamma$  - квантов; 311 и 291 - вторичное взаимодействие в соответствующих интервалах. Зарегистрировано также 28 пар Далитца.

Было построено распределение  $\pi^- p$  и  $\pi^- n$  - событий по длине проекции пробега протона (рис. 2). Из рисунка 2 видно, что "потери" медленных протонов при просмотре ( $\ell \leq 2$  мм) несущественны для  $\pi^- N$  - взаимодействий. Проверялось также, нет ли потерь заряженных следов у событий, которые расположены вблизи дна камеры, где освещенность меньше, чем у стекла. Для этой цели все найденные события разбивались на две группы: события, расположенные ближе к дну камеры (1), и события в хорошо освещенной области (2). Среднее число заряженных частиц  $\langle n_+ \rangle_2 = 7,12 \pm 0,12$  и  $\langle n_+ \rangle_1 = 7,18 \pm 0,14$ . Аналогичная проверка была сделана Варшавской группой [1] и было получено, что потери следов составляют < 2%. Учитывая эти результаты, видим, что все перечисленные выше поправки несущественны и дают смещение значения  $\langle n_+ \rangle$  на

$\Delta \langle n_{\pm} \rangle \approx -0,01$ , что и было учтено в таблице I. Увеличение средней множественности за счет взаимодействий первичных  $\pi^-$ -мезонов с квазиволнистыми протонами ядер углерода по проведенным оценкам составляет  $\Delta \langle n_{\pm} \rangle = +0,1$   $\text{xx}$ . Более точная оценка этого эффекта будет сделана позднее на основании расчетов по каскадной модели взаимодействия  $\pi^-$ -мезонов с ядром углерода.

На рис. 1б дано распределение по множественности  $\pi^- p$  - событий, в которых зарегистрированы  $V^0$  - частицы ( $K^0$  или  $\Lambda^0$ ). Эффективность регистрации  $V^0$  - частиц в выбранном объеме  $\epsilon_{V^0} > 80\%$ . Интересно отметить, что значения  $\langle n_{\pm} \rangle$ , как для всех событий, так и для событий с нейтральными странными частицами, совпадают. Топологические сечения ( $\sigma_n$ ) даны в таблице II. Здесь исключены случаи упругого рассеяния. Все оставшиеся события нормировались на полное сечение неупругих взаимодействий, которое принималось равным

$$\sigma_{inel}^{\pi^- p} = \sigma_{tot}^{\pi^- p} - \sigma_{el}^{\pi^- p} = 21,2 \pm 0,15 \text{ мбн. xx}.$$

### § 3. $\pi^- p$ -взаимодействия

Распределение событий по множественности заряженных частиц в  $\pi^- p$  - взаимодействиях показано на рис. 3а. Область, заштрихованная на рисунке, соответствует вкладу когерентных взаимодействий типа  $\pi^- C^{12} \rightarrow \pi^- \pi^+ \pi^- C^{12}$  (~ 17% от всех трехлучевых событий). Сечение когерентного образования трех заряженных  $\pi^-$  - мезонов на ядрах углерода принималось равным  $\sigma(\pi^- C_6^{12} \rightarrow \pi^- \pi^+ \pi^- C_6^{12}) = 2,5$  мбн. по экстраполяции имеющихся экспериментальных данных. Когерентные взаимодействия типа  $\pi^- C^{12} \rightarrow \pi^- \pi^+ \pi^- \pi^0 \pi^0 C^{12}$ ,  $\pi^- C^{12} \rightarrow \pi^+ \pi^- \pi^+ \pi^- \pi^- C^{12}$  и  $\pi^- C^{12} \rightarrow \pi^- \pi^0 \pi^0 C^{12}$  не рассматривались из-за отсутствия экспериментальных данных об их сечениях. Значения  $\langle n_{\pm} \rangle$  для  $\pi^- p$  -

$\text{x/}$  Эта поправка не учтена в таблице I.

$\text{xx/}$  Полные сечения  $\pi^- p$  и  $\pi^- p$  -взаимодействий при 40 Гэв/с равны:  $\sigma_{tot}^{\pi^- p} = 24,7 \pm 0,15$  мбн. и  $\sigma_{tot}^{\pi^- p} = 23,1 \pm 0,3$  мбн. /3/.

событий приведены в таблице I. Ошибки в  $\langle n_{\pm} \rangle$  являются статистическими. Однолучевые события регистрировались в камере с  $\theta \geq 10^\circ$ . На рис. 3б приводится распределение по множественности заряженных частиц в  $\pi^- p$ -событиях, где имеется хотя бы одна визуально идентифицированная частица. В таблице II даются топологические сечения неупругих  $\pi^- p$ -взаимодействий. Все события нормировались на полное сечение неупругих  $\pi^- p$ -взаимодействий  $\sigma_{Inel}^{\pi^- p} = \sigma_{tot}^{\pi^- p} - \sigma_{el}^{\pi^- p} = 19,6 \pm 0,3$  мбн. Полное сечение упругого  $\pi^- p$ -рассеяния принято равным  $\sigma_{el}^{\pi^- p} = \sigma_{el}^{\pi^- n} = 3,5$  мбн. Полученные в настоящей работе распределения по множественности в  $\pi^- p$  и  $\pi^- n$ -взаимодействиях описываются эмпирической формулой, предложенной в работе /4/.

#### § 4. $\pi^- C$ -взаимодействия

В таблице III приведены данные по средней множественности релятивистских треков в зависимости от числа медленных протонов ( $180 \leq p \leq 500$  Мэв/с) для соударений  $\pi^-$ -мезонов с ядрами углерода <sup>x/</sup>. Средняя множественность релятивистских треков составляет  $\langle n_{\pm} \rangle_{rel} = 6,42 \pm 0,07$ . Среднее число всех вторичных заряженных частиц в таких событиях оказалось равным  $\langle n_{\pm} \rangle_c = 7,09 \pm 0,07$ . В таблице IV приводятся аналогичные данные для взаимодействий  $\pi^-$ -мезонов с ядрами углерода за исключением  $\pi^- p$  и  $\pi^- n$ -соударений с квазисвободными нуклонами. Интересно отметить отсутствие зависимости  $\langle n_{\pm} \rangle_{rel}$  от числа медленных протонов.

---

<sup>x/</sup> К соударениям  $\pi^-$ -мезонов с ядрами углерода по нашей классификации относятся  $\pi^- C$ -события,  $\pi^- p$  и часть  $\pi^- p$ -событий (44%) на квазисвободных нуклонах.

## § 5. Зависимость среднего числа $\gamma$ -квантов от множественности заряженных частиц в $\pi^- p$ и $\pi^- n$ - взаимодействиях

В настоящей работе регистрировались электрон-позитронные пары, "смотрящие" в точку взаимодействия. На рис. 4а и 4б приводятся зависимости среднего числа  $\gamma$ -квантов  $\langle n_\gamma \rangle$ , найденных при просмотре, от множественности заряженных частиц в  $\pi^- p$  и  $\pi^- n$  - взаимодействиях соответственно. Значения  $\langle n_\gamma \rangle$  даны без учета эффективности регистрации  $\gamma$ -квантов в камере. Однако, как показывают измерения, средние веса  $\gamma$ -квантов в пределах  $\pm 7\%$  не зависят от  $n_\pm$ . В связи с этим интересно отметить рост  $\langle n_\gamma \rangle$  с увеличением  $n_\pm$ .

Авторы выражают благодарность коллективу 2-метровой пропановой камеры ЛВЭ ОИЯИ с сотрудниками ИФВЭ за проведение облучений. Мы признательны лаборантам НЭКО ЛВЭ и сотрудникам ЛВТА ОИЯИ за большую помощь, оказанную при выполнении настоящей работы.

### Литература

1. А.У. Абдурахимов, Н. Ангелов и др. Препринт ОИЯИ Р1-6277, Дубна, 1972.
2. Ван Ган-чан, Ван Цу-цзен, Дин Да-Чао и др. Препринт ОИЯИ Р-393, Дубна, 1959.
3. CERN- Serpukhov Collaboration. Phys.Lett., 30, 500, 1969.
4. O.Czyzewski, K.Rybicki. Report No 703/RH, I.N.P. 1970, Cracow.
5. В.Я. Алмазов, А.С. Буров и др. Препринт ОИЯИ, 10-4172, Дубна, 1968.

Рукопись поступила в издательский отдел  
15 марта 1972 года.

ТАБЛИЦА I.

Значения средних множественности  $\langle n_{\pm} \rangle$  заряженных частиц  
в  $\pi^- p$  и  $\bar{\pi}n$  – взаимодействиях.

Тип взаимодействия	$\langle n_{\pm} \rangle$	$\sqrt{D}$	$\langle n_{\pm} \rangle / \sqrt{D}$
$\pi^- p$ (все зарегистрированные соб.)	$5,39 \pm 0,07$	2,80	1,93
$\pi^- p$ (без упругих событий)	$5,56 \pm 0,07$	2,76	2,02
$\pi^- p$ (события с $\sqrt{s}$ -частичками)	$5,65 \pm 0,21$	2,89	1,96
$\bar{\pi}n$ (все события)	$5,03 \pm 0,10$	2,79	1,81
$\bar{\pi}n$ (без когерентных событий – 43 соб.)	$5,15 \pm 0,10$	2,82	1,83
$\bar{\pi}n$ (события с $\sqrt{s}$ -частичками)	$5,59 \pm 0,36$	2,84	1,97

ТАБЛИЦА П.

Распределение событий по множественности заряженных частиц и топологические  
сечения в  $\pi^- p$  и  $\pi^- n$  - взаимодействиях.

$\pi^- p$ - события (без упругих)				$\pi^- n$ - события (без когерентных)			
$n_{\pm}$	Число событий	доля от всех событий (%)	сечение $\sigma_n$ (мбн.)	$n_{\pm}$	Число событий	доля от всех событий (%)	сечение $\sigma_n$ (мбн.)
0	20	$1,1 \pm 0,3$	$0,23 \pm 0,06$	I	77	$10,6 \pm 1,2$	$2,08 \pm 0,24$
2	274	$15,6 \pm 0,9$	$3,31 \pm 0,19$	3	213	$29,3 \pm 2,0$	$5,74 \pm 0,40$
4	524	$29,9 \pm 1,3$	$6,34 \pm 0,28$	5	188	$25,9 \pm 1,9$	$5,08 \pm 0,38$
6	470	$26,8 \pm 1,2$	$5,68 \pm 0,26$	7	135	$18,6 \pm 1,6$	$3,65 \pm 0,32$
8	279	$15,9 \pm 1,0$	$3,37 \pm 0,21$	9	70	$9,6 \pm 1,2$	$1,88 \pm 0,24$
10	120	$6,8 \pm 0,6$	$1,44 \pm 0,13$	II	33	$4,5 \pm 0,8$	$0,88 \pm 0,16$
12	50	$2,9 \pm 0,4$	$0,61 \pm 0,08$	13	9	$1,2 \pm 0,4$	$0,24 \pm 0,08$
14	13	$0,7 \pm 0,2$	$0,15 \pm 0,04$	15	I	$0,1 \pm 0,1$	$0,02 \pm 0,02$
16	2	$0,1 \pm 0,1$	$0,02 \pm 0,02$	17			
18	I	$0,1 \pm 0,1$	$0,02 \pm 0,02$	19	I	$0,1 \pm 0,1$	$0,02 \pm 0,02$
20	I	$0,1 \pm 0,1$	$0,02 \pm 0,02$	$\Sigma$	727	100	$19,6 \pm 0,3$
22	I	$0,1 \pm 0,1$	$0,02 \pm 0,02$				
$\Sigma$	1755	100	$21,2 \pm 0,15$				

ТАБЛИЦА III.

Значения средних множественностей заряженных релятивистских частиц в соударениях  $\Pi^-$ -мезонов с ядрами углерода в зависимости от числа медленных протонов.

Число медленных протонов	% от всех $\Pi^-C$ - событий	Среднее число релятивистских треков
0	$58,9 \pm 1,4$	$5,97 \pm 0,07$
1	$24,3 \pm 0,9$	$6,73 \pm 0,13$
2	$11,1 \pm 0,6$	$7,59 \pm 0,20$
3	$4,4 \pm 0,4$	$7,92 \pm 0,34$
$\geq 4$	$1,3 \pm 0,2$	$6,65 \pm 0,62$
Все события	100	

ТАБЛИЦА IV

Средние множественности заряженных релятивистских частиц в  $\Pi^-C$  - взаимодействиях (исключены  $\Pi^-p$  и  $\Pi^-n$  -события на квазиволнистых нуклонах ядер углерода).

Число медленных протонов	% от всех $\Pi^-C$ -событий	Среднее число релятивистских треков
0	$28,8 \pm 1,4$	$7,86 \pm 0,16$
1	$37,2 \pm 1,6$	$7,45 \pm 0,15$
2	$22,4 \pm 1,2$	$7,59 \pm 0,20$
3	$8,9 \pm 0,8$	$7,92 \pm 0,34$
$\geq 4$	$2,7 \pm 0,4$	$6,65 \pm 0,62$
Все события	100	

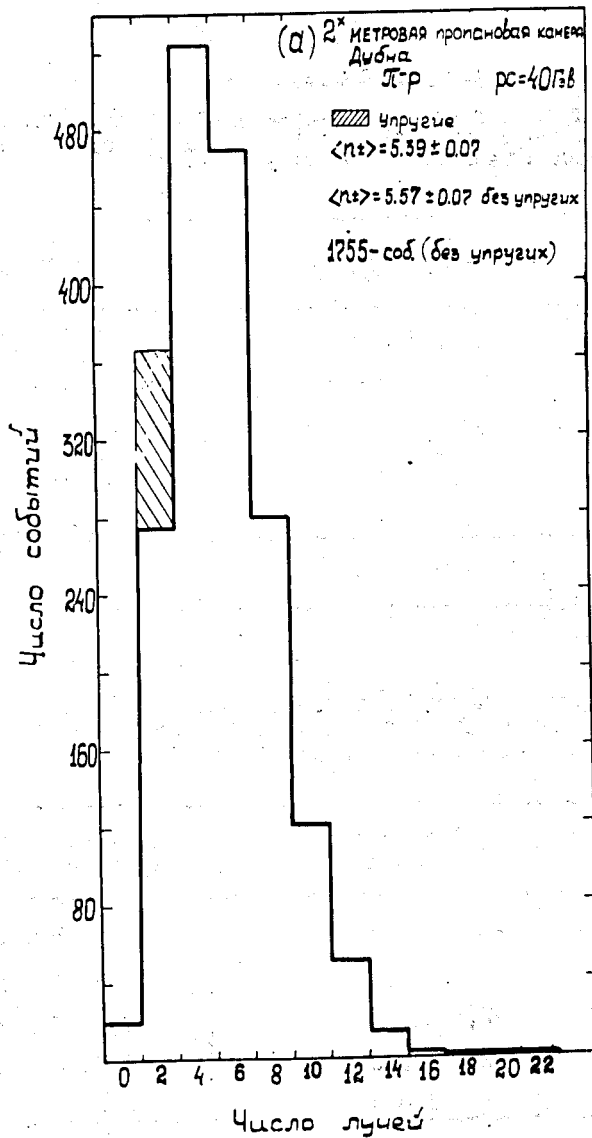


Рис. 1а

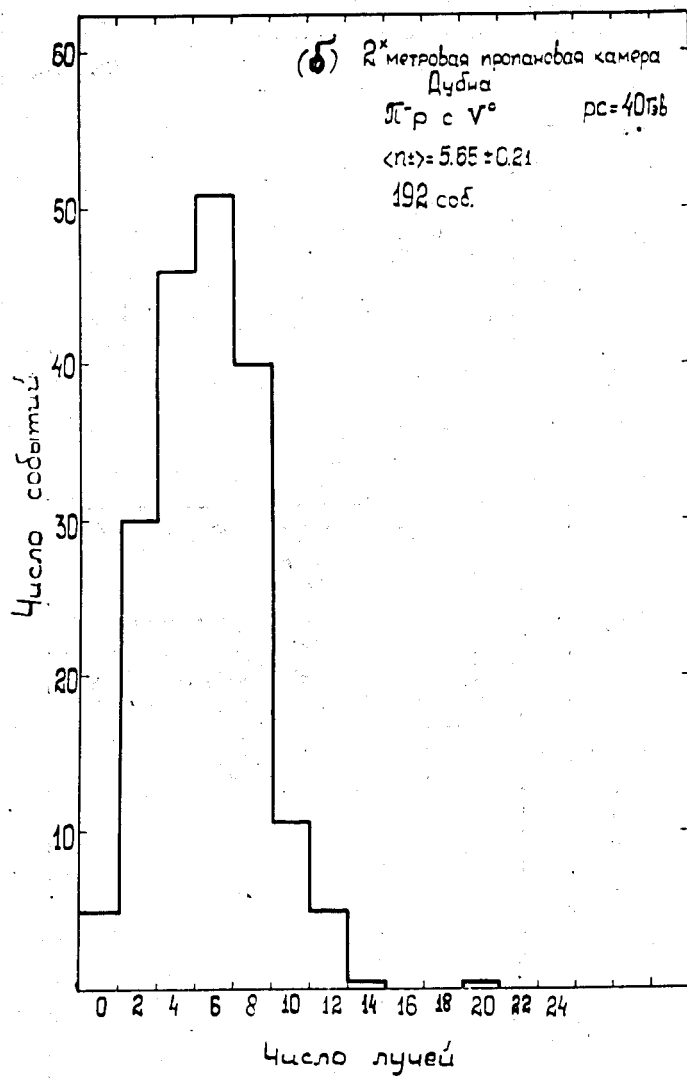


Рис. 16

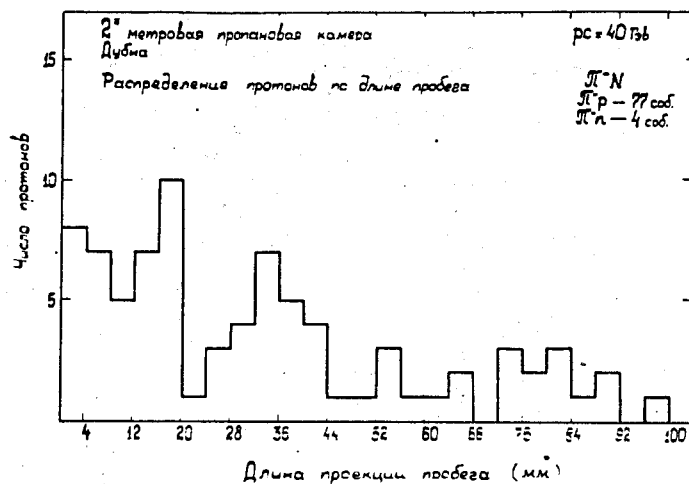


Рис. 2

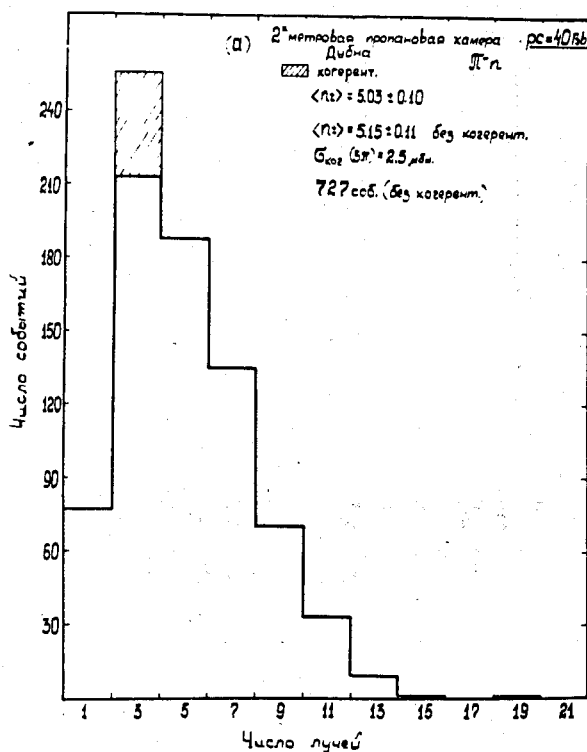


Рис. 3а

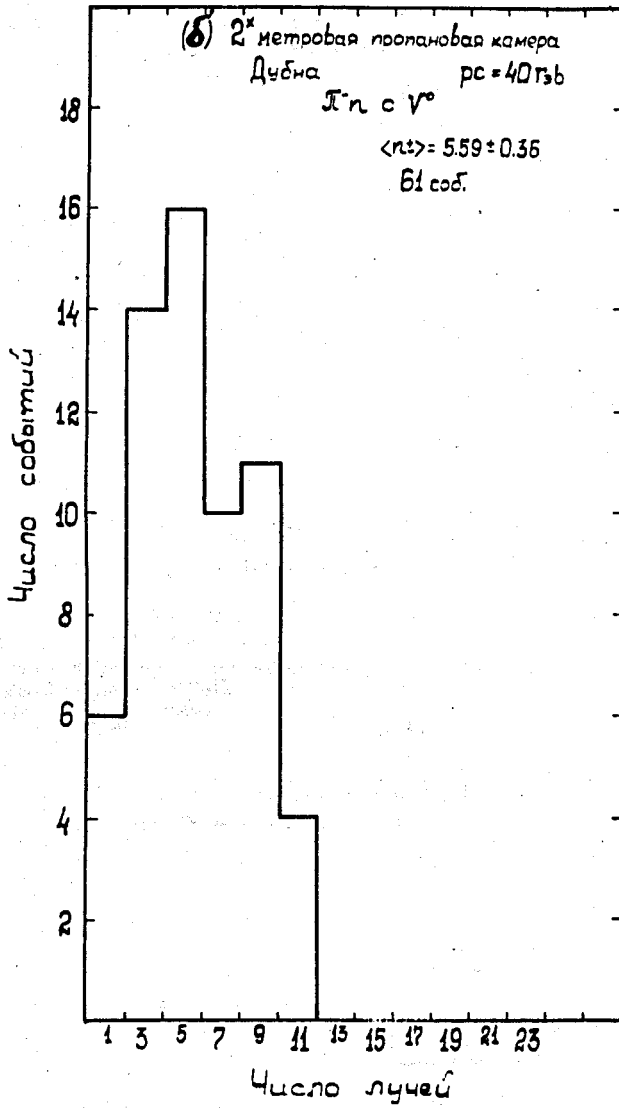


Рис. 36

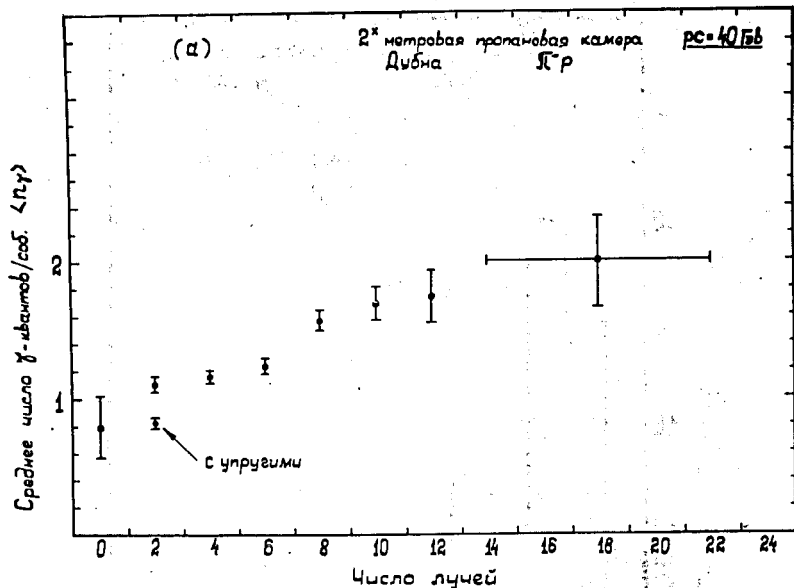


Рис. 4а

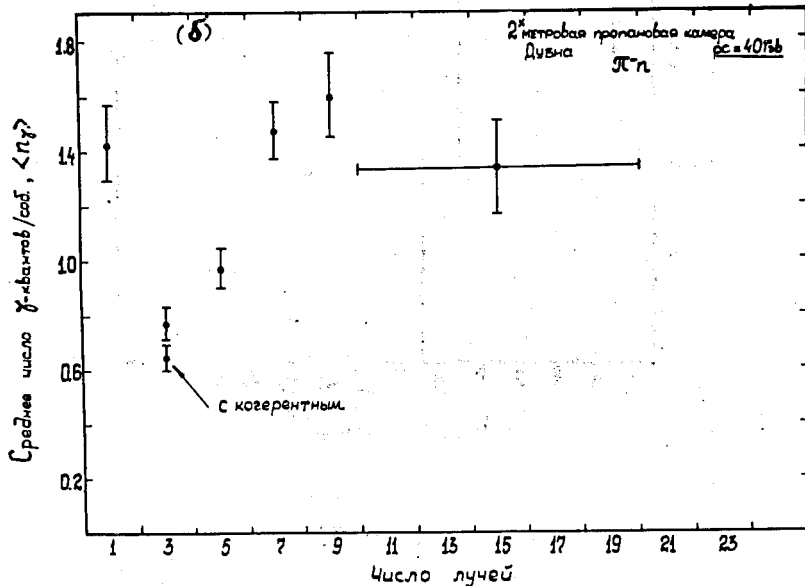


Рис. 4б